

بررسی فیزیک یک رآکتور بستر - شارشی خود - ایمن

محمد رضا اسکندری، محسن شاپسته

بخش فیزیک دانشگاه شیراز، شیراز

تاریخ دریافت: ۲۳ اردیبهشت ۱۳۷۴ | تاریخ نسخه نهایی: ۱۲ آبان ۱۳۷۴

چکیده

در این مقاله پیشنهاد جدیدی درباره طراحی رآکتور شکافت ارائه شده است که در مقابل اتفاقهای ناشی از خراب شدن خنک‌کننده کاملاً مصنون است. در این رآکتور پیشنهادی خود - ایمن، گلوله‌های سوخت بر اثر تعادل بین نیروی وزن و نیروی مقاومی که جریان هلیوم خنک‌کننده به گلوله وارد می‌کند، به صورت شناور نگه داشته می‌شوند. به علاوه طراحی سیستم به صورتی است که اندازه نیروی مقاوم در طول بستر جریان، اندکی تغییر می‌کند و این تغییر به گونه‌ای است که سبب پایداری بستر شاره می‌شود. هرگونه اتفاقی که بر اثر خراب شدن خنک‌کننده (LOCA) یا افت جریان (LOFA) پیش بیاید، باعث می‌شود که نیروی مقاوم کم شود یا از بین برود و در نتیجه گلوله‌های سوخت بر اثر نیروی وزن سقوط کنند و از قلب رآکتور خارج شوند. این گلوله‌ها پس از خروج، در منطقه‌ای که سیستم در حالت تحت بحرانی است قرار می‌گیرند و خنک می‌شوند و مسئله ذوب شدن قلب رآکتور متفقی می‌شود.

با تغییر سرعت خنک‌کننده، تخلخل بستر تغییر می‌کند و معلوم شده است که این امر سبب تغییر در ضربت تکثیر سیستم می‌شود، و از آن می‌توان برای کنترل سیستم استفاده کرد.

با تعیین تخلخلی که به ازای آن ضربت تکثیر می‌نماید سیستم دارای مقدار بیشینه است و فرض قرارگرفتن سیستم در آن تخلخل، ارتفاع مؤثر قلب و سرعت لازم گاز هلیوم برای قرار داشتن سیستم در آن تخلخل محاسبه شده است. با مشخص شدن وضعیت مکانیکی سیستم، محاسبات رآکتور فیزیکی با استفاده از روش پخش نوترون و معادله انتقال انجام شده و شعاع بحرانی سیستم برای تولید ۳۰۰ مگاوات تعیین شده است. توزیع شار برای نوترون‌های گرمایی و نوترون‌های سریع در درون قلب و بازتابنده با استفاده از روش محاسبات دوگره‌ی محاسبه و رسم شده است. لازم به تذکر است که در اکثر این محاسبات استفاده از کدهای پیشرفته میسر نبود، زیرا طراحی مورد نظر با سایر رآکتورهای معمولی که تا به حال طراحی شده‌اند و از آنها استفاده می‌شود مغایر است.

مقدمه

صرف این منابع به عنوان سوخت، دیگر مقرن به صرفه نیست. ثانیاً اثرات مضر نیروگاههای هسته‌ای در محیط زیست به مرتب کمتر از نیروگاههای معمولی است. با وجود این، گروهی از متخصصان، این تکنولوژی را با توجه به اتفاقاتی نظیر حادثه چرنوبیل و تری‌مایل آیلند یک تکنولوژی خطرناک و غیرقابل قبول می‌دانند. مهمترین دلیل مخالفت آنها در استفاده از این تکنولوژی ریشه در اینمنی کار رآکتورهای هسته‌ای دارد و معتقدند که کارهای انجام شده برای حصول اینمنی، سبب پیچیده شدن و گرانتر شدن طرح شده و در ایجاد اعتماد عمومی موفق نبوده است.

در چند سال اخیر ایده طرح یک رآکتور جدید مورد توجه قرار گرفته است که ویژگی آن مصنون بودن قلب رآکتور نسبت به حادثه از دست رفتن خنک‌کننده است. در این ایده اگر به هر

نیاز دنیا به انرژی الکتریکی به مقدار قابل ملاحظه‌ای در حال افزایش است. براساس آخرین آمار ارائه شده توسط آژانس انرژی اتمی تا پایان سال ۱۹۹۲ تعداد کل رآکتورهای در حال کار دنیا ۴۲۴ عدد است که مجموعاً بیش از ۳۳۰ گیگاوات الکتریسیته تولید می‌کنند و تا آخر قرن بیست تعداد ۷۲ رآکتور دیگر بر این تعداد افزوده می‌شود که جمماً در حدود ۳۸۹ گیگاوات الکتریسیته تولید خواهد کرد [۱].

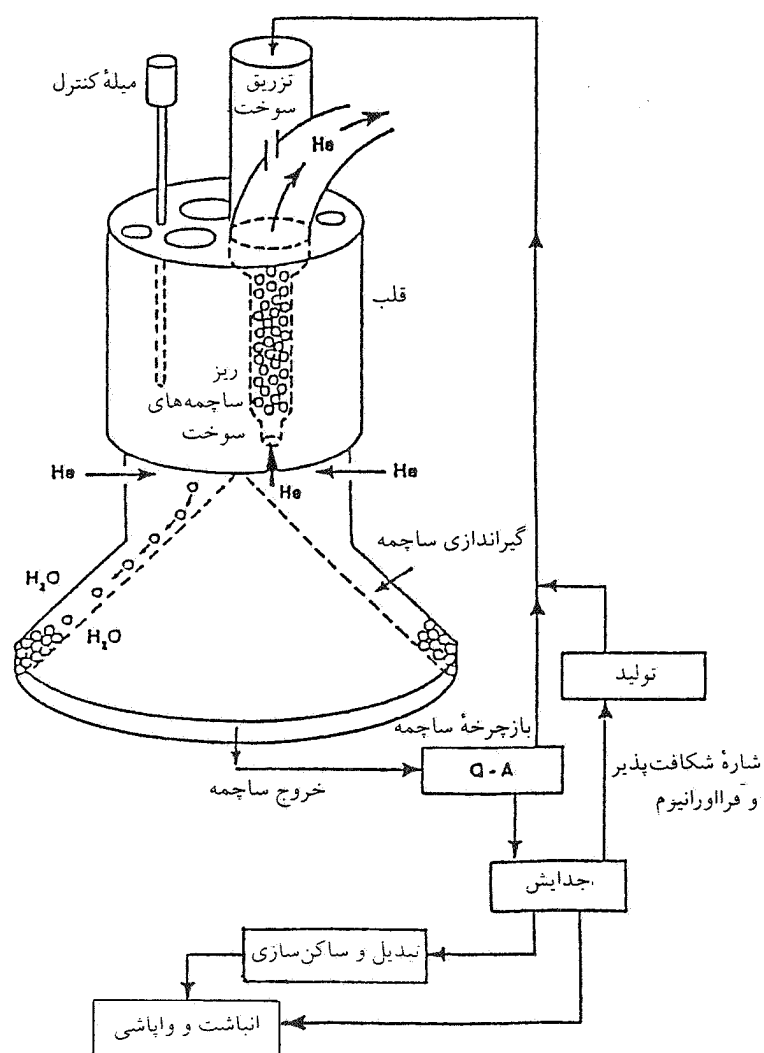
استفاده از نیروگاههای هسته‌ای به عنوان مولد انرژی الکتریکی به این دلیل است که اولاً در بسیاری از نقاط جهان استفاده از انرژی هسته‌ای برای تولید الکتریسیته ارزانتر از منابع متداول تولید انرژی است. درواقع، منابع سوخت فسیلی دنیا، یعنی ذغال سنگ و نفت و گاز طبیعی، به شدت رو به کاهش است و پیشرفتهای تکنولوژیکی نشان می‌دهد که

می شود. با انتخاب کانالها به صورت یک مخروط ناقص که شعاع سطح مقطع آن از پایین به بالا به میزان مناسب افزایش می یابد می توان پایداری بستر را نیز تضمین کرد. در این ایده طراحی جدید، رآکتور به هر علتی که جریان خنک کننده را از دست بدهد، نیروی مقاوم وارد بر گلوله ها از طرف شاره از بین می رود و گلوله های سوخت بر اثر نیروی وزن از قلب رآکتور خارج می شوند و روی سطح مخزن مخروطی شکلی که زیر قلب رآکتور قرار دارد می ریزند. در این حالت گلوله ها توسط خنک کننده ثانوی خنک می شوند و رآکتور در حالت زیر بحرانی قرار می گیرد (شکل ۱) [۳].

دلیلی خنک کننده از کار بیفتند یا در کار پمپها خلل ایجاد شود رآکتور خودبه خود و بدون دخالت انسان یا اسباب عامل، در حالت تحت بحرانی قرار می گیرد، عمل شکافتهای زنجیری متوقف می شود و گرمای پاره های شکافت نیز توسط خنک کننده های ثانویه منتقل می شود [۲-۵].

توصیف ایده

در این ایده سوخت به صورت گلوله هایی کوچک در داخل کانالهایی که گاز هلیوم به طرف بالا در آنها جریان دارد، قرار می گیرد. گاز هلیوم ضمن انتقال گرما از آنها، با وارد کردن نیروی مقاوم به گلوله ها، آنها را به صورت شناور درون کانال نگه می دارد. با تغییر سرعت شاره در محدوده مجاز می توان ارتفاع مؤثر قلب رآکتور را به اندازه دلخواه تعیین کرد که این امر منجر به تعیین اندازه ضریب تکثیر سیستم به مقدار دلخواه



شکل ۱. نمودار طرح وار رآکتور PSR پیشنهادی (کپی از مرجع شماره ۳). کانالهای استفاده شده به صورت مخروطی ناقص هستند که شعاع سطح مقطع آنها پایین به بالا با میزان مناسب افزایش می یابد تا پایداری بستر رآکتور پیشنهادی را تضمین کند.

**جدول ۱. مشخصات راکتور پیشنهادی بستر - شارشی خود - این با
قدرت ۳۰۰ مگاوات و آرامکننده گرافیت**

مقدار	پارامتر
۳۰۰ MW	توان گرمایی
۲۲۶۸ cm	شعاع قلب (شعاع معادل بدون بازتابنده)
۲۸۰ cm	شعاع راکتور
۴۳۸۸ cm	ارتفاع مؤثر قلب
۵۰۰ cm	ارتفاع قلب
۱	درصد غنای گلوله‌های سوخت
دی اکسید اورانیوم	جنس سوخت
۰۵ cm	شعاع گلوله‌های سوخت
۱ cm	ضخامت غلاف گلوله‌های سوخت
زیرکانیوم	جنس غلاف گلوله‌های سوخت
۸.۱۲۴×10^{-3} g/cc	چگالی هلیوم در پایین کاناال (بیشترین مقدار چگالی)
۵.۷۸۵×10^{-3} g/cc	چگالی هلیوم درینیم ارتفاع کاناال در فشار ۱۰۰ اتمسفر و دمای ۸۴۰ درجه کلوین
۹۵۴۴ ر.۲ Kg	جرم کل سوخت در قلب
۸۴۱ Kg	جرم کل U
۱۱۰۰ K	دمای سطح گلوله‌های سوخت
۱۴۴.۵ Kg/s	میزان شارش جرمی هلیوم
۶۰۰ K	دمای گاز ورودی
۱۰۰۰ K	دمای گاز خروجی
۱۰۰ atm	فشار متوسط هلیوم در قلب
۱.۲×10^6	تعداد گلوله‌های سوخت در هر کاناال

صفر قرار دادن برایند نیروهای وارد بر یک گلوله، سرعت شاره برای شناور نگهداشتی یک گلوله، که همان سرعت حدی گلوله در آن شاره است، به دست می‌آید. با توجه به اینکه چسبندگی هلیوم در دمای ۸۴۰ درجه کلوین 9×10^{-6} g/cm.s است عدد رینولدز حدی برابر ۱۲۳۰ می‌شود که ضریب نیروی مقاوم، C_D برابر با ۰.۴۴ است. انتخاب و در محاسبات استفاده شد.

$$V_t = \left[\frac{4}{3} \frac{g}{\rho C_D} (\rho_c - \rho) + \frac{D_F^3}{D_C^3} (\rho_F - \rho_C) \right]^{1/2} = ۷۲۴.۴ \text{ cm/s} \quad (۴)$$

اگر بیش از یک گلوله داشته باشیم سرعت ظاهری شاره برای به دست آوردن یک تخلخل یا ارتفاع مؤثر خاص را با استفاده از سرعت حدی و می‌نیمم سرعت شاره، V_s ، که با استفاده از موازنۀ نیروها به دست می‌آید، می‌توان به دست آورد.

هزایای این ایده

۱- تلاطم بستر و حرکت دائمی گلوله‌ها سبب خوب مخلوط شدن سوخت و شاره می‌شود و میزان انتقال گرما از گلوله‌ها به شاره را افزایش می‌دهد.

۲- حرکت دائمی گلوله‌ها سبب یکنواختی میزان مصرف همه گلوله‌های سوخت، صرفنظر از شکل توزیع شار نوترن، می‌شود که این امر استفاده بیشتر از سوخت را امکان‌پذیر می‌سازد.

۳- تغییر سرعت شاره در محدوده مجاز، سبب تغییر ارتفاع مؤثر قلب یا تخلخل بستر می‌شود که این امر تغییر نسبت آرامکننده به سوخت و در نتیجه تغییر ضریب تکثیر بی نهایت سیستم را به دنبال دارد و از آن برای کنترل راکتور می‌توان استفاده کرد. در این صورت استفاده از میله‌های کنترل ضروری نیست.

مشخصات راکتور پیشنهادی

قلب این راکتور از ۱۵۱۹ مدلول استوانه‌ای با سطح مقطع شش ضلعی منتظم که طول هر یک از اضلاع آنها ۴۶ سانتیمتر است تشکیل شده است و کانالهای حاوی سوخت و خنک‌کننده در درون این مدلولها قرار دارند. مشخصات این راکتور پیشنهادی در جدول (۱) آمده است.

نیروهای وارد بر گلوله‌های سوخت

نیروهایی که بر گلوله‌های سوخت در شاره وارد می‌شوند عبارت اند از:

۱. نیروی وزن:

$$F_g = \frac{\pi}{4} g [D_F^3 \rho_F + (D_C^3 - D_F^3) \rho_c] \quad (۱)$$

۲. نیروی بالانگهدارنده:

$$F_b = \frac{\pi}{4} g D_C^3 \rho \quad (۲)$$

۳. نیروی مقاوم:

$$F_d = \frac{\pi}{4} D_C^2 C_D \left[\rho \frac{(V - V_s')^2}{2} \right] \quad (۳)$$

در روابط بالا D_F و D_C به ترتیب قطر گلوله‌های سوخت بدون غلاف و با غلاف و ρ_F و ρ_c و C_D مچگالی سوخت، غلاف، و هلیوم و V و V_s' سرعت شاره و سرعت گلوله‌ها هستند. با مساوی

$$(ρ_s - ρ) g = 15 \cdot \frac{v_F μ(1-ε)}{D_C^2 ε^3} + 1575 \cdot \frac{ρ v_F}{D_C ε^3} \Rightarrow v_F = 56 \text{ cm/s} \quad (5)$$

$$\dot{m} = nρv_s πr_{ch}^2 \quad (7)$$

در این روابط P توان راکتور، n شعاع کانالها و m تعداد کانالهاست.

ارتفاع مؤثر قلب را باید مقداری انتخاب کرد که ضریب تکثیر بی نهایت سیستم بیشترین مقدار را داشته باشد. چون این ارتفاع به تخلخل بستر، سرعت شاره، شعاع کانال، و میزان افزایش شعاع کانال بستگی دارد، محاسبات مربوط به این کمیتها به محاسبات راکتور فیزیکی سیستم نیز ارتباط پیدا می‌کند. روش کار بدین صورت است که ابتدا مقداری برای شعاع در ابتداء، و در نیم ارتفاع کانال درنظر می‌گیریم و به ازای آن، تخلخل یا ارتفاع مؤثری را که ضریب تکثیر بی نهایت سیستم به ازای آن بیشترین مقدار را داراست پیدا می‌کنیم. با این تخلخل سرعت ظاهری شاره را با استفاده از شکل ۲ و شعاع در نیم ارتفاع کانال را از رابطه (7) به دست می‌آوریم. اگر این مقدار با مقداری که از اول برای شعاع در نیم ارتفاع کانال انتخاب کرده بودیم برابر باشد انتخاب خوبی است، در غیر این صورت محاسبات تکرار می‌شود.

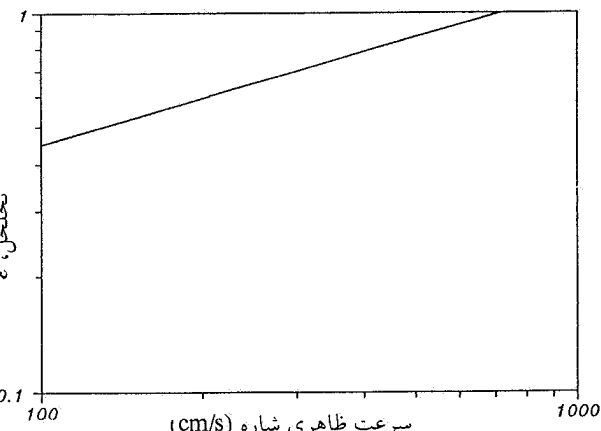
در رابطه (7) به مقدار چگالی شاره، m ، در نیم ارتفاع کانال نیاز داریم که این پارامتر به فشار و دما در آن نقطه بستگی دارد. فشار را در آن نقطه 100 آتمسفر انتخاب می‌کنیم. آزمایش نشان می‌دهد که در چنین سیستمی شاره 60 درصد افزایش دمای خود را در طی نیمة اول کانال به دست می‌آورد [۶]، یعنی دمای شاره در وسط کانال 840 کلوین است، و در چنین شرایطی جگالی هلیوم $10 \times 785 \text{ رگرم بر سانتیمتر مکعب}$ می‌شود.

محاسبات نشان می‌دهند که انتخاب شعاع در ابتداء و در نیم ارتفاع کانال به ترتیب برابر $27 \text{ و } 3 \text{ سانتیمتر}$ انتخاب مناسبی است. با این انتخاب، بیشترین مقدار ضریب تکثیر سیستم برابر با 1575 است که در تخلخل 91°C یا ارتفاع مؤثر 8438 سانتیمتر پذید می‌آید. از شکل ۲ سرعت شاره در این وضعیت برابر با $570 \text{ سانتیمتر بر ثانیه}$ به دست می‌آید و از رابطه (7) داریم

$$r_{ch} = \left(\frac{\dot{m}}{nρv_s π} \right)^{1/2} = 3.03 \text{ cm} \quad (8)$$

که با مقدار انتخابی برابر است.

که در آن چسبندگی شاره و تخلخل بستر است. با داشتن می‌نیم سرعت شاره که گلوله‌ها را در آستانه شناورشدن قرار می‌دهد، و سرعت حدی، می‌توان شکل ۲ را رسم کرد و سرعت ظاهری شاره برای داشتن یک تخلخل خاص را به دست آورد.



شکل ۲. تخلخل بستر بر حسب سرعت ظاهری گاز هلیوم درون کانالها با معلوم بودن چسبندگی شاره، کمینه سرعت شارش که گلوله‌ها را در آستانه شناورشدن قرار می‌دهد و سرعت حدی، برای تخلخلهای مختلف محاسبه و رسم شده است.

با توجه به رابطه (۳) نیروی مقاوم تابعی از چگالی شاره است و چگالی شاره به علت تغییر در دمای شاره و افت فشار در طول کانال، تغییر می‌کند. بنابراین، نیروی مقاوم نیز مقدار ثابتی ندارد و مقدار آن در پایین کانال بیشتر از قسمتهای بالای کانال است که سبب عدم پایداری بستر می‌شود. با توجه به معادله پیوستگی، حاصل ضرب چگالی شاره و سطح مقطع کانال و سرعت شاره در هر نقطه از کانال ثابت است. همچنین با درنظر گرفتن این مسئله که چگالی شاره در رابطه (۳) با توان اول و سرعت آن با توان دوم ظاهر شده است، می‌توان با تغییر در مساحت سطح مقطع در طول کانال، نیروی مقاوم را طوری تنظیم کرد که سبب پایداری بستر شود.

از طرفی باید توجه داشت که میزان شارش جرمی هلیوم، m ، درون کانالها باید مقداری باشد که بتواند گرمای تولید شده در گلوله‌ها را منتقل کند. بنابراین باید داشته باشیم

$$P = \dot{m} C_p ΔT \Rightarrow \dot{m} = 144481 \text{ kg/s} \quad (6)$$

به چگالی و سرعت شاره و سطح مقطع کانال نیز بستگی دارد.

$$\frac{1}{f} = \left(\frac{\Sigma_{am} V_m + \Sigma_{ac} V_c}{\Sigma_{aF} V_F} \right) A + B \quad (9)$$

که در آن ضرایب A و B عبارت اند از

$$A = \frac{K_F r_F}{2} \frac{I_0(K_F r_F)}{I_1(K_F r_F)}$$

$$B = \frac{V_m}{V_F} \frac{K_m r_F}{2} \frac{M_0(K_m r_F)}{M_1(K_m r_F)}$$

V_m ، V_c و V_F به ترتیب حجم آرامکننده، غلاف و سوخت در سلول واحد و Σ_{ac} و Σ_{am} به ترتیب سطح مقطع ماکروسکوپی جذب برای آرامکننده، غلاف و سوخت هستند. K_m و K_F نیز از روابط زیر به دست می‌آیند که در آنها D_F و D_m به ترتیب ضریب پخش در سوخت و آرامکننده است:

$$K_F^2 = \frac{\Sigma_{aF}}{D_F}, \quad K_m^2 = \frac{\Sigma_{am}}{D_m}$$

M_0 و M_1 نیز ترکیبی از توابع بسل تعمیم یافته به صورت زیر هستند

$$M_0(K_m r_F) = K_0(K_m r_F) + \frac{K_1(K_m r_m)}{I_1(K_m r_m)} I_0(K_m r_F)$$

$$M_1(K_m r_F) = K_1(K_m r_F) - \frac{K_1(K_m r_m)}{I_1(K_m r_m)} I_1(K_m r_F)$$

مقدار K_m و K_F محاسبه شده به ترتیب برابر با 5455 cm^{-1} و 1932 cm^{-1} می‌باشد؛ درنتیجه برای $K_m r_F$ مقدار 1304 cm استفاده شده است. r_m در روابط بالا شاعع آرامکننده یا سلول واحد است که نسبت به فضای خالی اصلاح نشده است. شاعع اصلاح شده را برابر r_e گرفتیم و مقدار آن با استفاده از رابطه $H = V_F + V_m$ قابل محاسبه است که در آن H ارتفاع قلب و V_F و V_m به ترتیب حجم‌های سوخت و آرامکننده هستند. شاعع اصلاح شده برای سلول واحد برابر 116 cm می‌شود و مقدار $K_m r_e$ جایگذاری شده برابر 9682 cm است. با محاسبه توابع فوق می‌بینیم می‌آید:

$$f = 1686 \pm 880 \quad (10)$$

P ، احتمال فرار از تشدید، از رابطه زیر به دست می‌آید [۹]

$$p = \exp \left[-\frac{N_F V_F I}{\xi_m \sum_{sm} V_m} \right] \quad (11)$$

محاسبات نشان می‌دهند که افت فشار در طول کانال‌ها در حدود ۲ آتمسفر است، یعنی فشار در بالای کانال‌ها ۱۰۱ آتمسفر و در پایین کانال ۹۹ آتمسفر است. با داشتن فشار، دما و سرعت هلیوم در ابتدا و در نیم ارتفاع و انتهای کانال، چگالی هلیوم در این نقاط تعیین می‌شود، و با استفاده از نسبت شاعع در ابتدا و انتهای می‌توان نیروی خالص وارد بر گلوله‌ها را حساب کرد. طراحی کانال‌ها به گونه‌ای انجام شده است که در وسط یا نیم ارتفاع کانال‌ها نیروی وزن با نیروی مقاوم برابر و بنابراین نیروی خالص وارد بر گلوله‌ها صفر باشد. نتایج نشان می‌دهند که هرچه از وسط به ابتدای کانال نزدیکتر می‌شویم نیروی مقاوم افزایش می‌یابد و در ابتدای کانال افزایش نیروی مقاوم برابر 13 درصد نیروی وزن آنها و به طرف بالا است. از طرفی هرچه از وسط کانال‌ها به انتهای کانال‌ها نزدیک می‌شویم سرعت شاره و در نتیجه نیروی مقاوم وارد بر گلوله‌ها کاهش پیدا می‌کند، به گونه‌ای که در انتهای کانال‌ها کاهش نیروی مقاوم برابر 13 درصد نیروی وزن آنهاست، و این بدان معناست که هرچه از وسط به طرف انتهای کانال پیش می‌رویم یک نیروی خالص به طرف پایین به گلوله‌ها وارد می‌شود و بیشترین مقدار آن در انتهای کانال و برابر 13 درصد نیروی وزن آنهاست.

محاسبه ضریب تکثیر بی‌نهایت سیستم

پویش آزاد متوسط نوترون گرمایی در هلیوم با چگالی $10^{10} \times 124 \text{ g/cm}^3$ بر سانتیمتر مکعب برابر با 1020 سانتیمتر^3 است [۷] و این بدان معناست که هلیوم از لحظه نوترونی مانند فضای تهی عمل می‌کند و گلوله‌های سوخت در محاسبات رآکتور فیزیکی باید به صورت یک میله در امتداد کانال درنظر گرفته شوند. محاسبات نشان می‌دهد که ضخامت این میله سوخت معادل 135 سانتیمتر و ضخامت غلاف معادل 21 cm سانتیمتر است. پویش آزاد متوسط نوترون در سوخت نیز برابر با 74 cm سانتیمتر به دست می‌آید که در حدود ضخامت سوخت است و درنتیجه رآکتور باید ناهمگون در نظر گرفته شود.

برای محاسبات رآکتور فیزیکی سیستم از روش ویگنر-ساتیز استفاده می‌کنیم؛ بدین ترتیب که شبکه سوخت-آرامکننده را به سلولهای واحد که سوخت در مرکز هر کدام از آنها قرار دارد تقسیم می‌کنیم و در انجام محاسبات، این سلول واقعی را با سلول استوانه‌ای معادل که دارای وضعیت هندسی ساده‌تری است جایگزین می‌کنیم. ضریب تکثیر بی‌نهایت سیستم، حاصل ضرب چهار ضریب f, p, ϵ, η است که هر کدام جداگانه محاسبه می‌شوند. می‌باشد گرمایی از رابطه زیر به دست می‌آید [۸].

$$p = ۰۸۸۳۶۹۲۶ \quad (۱۲)$$

یا ضریب شکافت سریع طبق روش اسپینراد محاسبه شده است. در این روش همه نوترونهای داخل و سوخت به سه گروه تقسیم می‌شوند: ۱. نوترونهای شکافت با انرژی بالاتر از E_F (انرژی آستانه شکافت سریع) ۲. نوترونهای شکافت با انرژی زیر E_F ، ۳. نوترونهای با انرژی زیر E_F که از گروه یک، بر اثر پراکندگی خارج شده‌اند [۱۰].

که در آن N_F چگالی اتمی سوخت، ξ_m افزایش متوسط لتارجی در هر برخورد در آرامکننده، ξ_{sm} سطح مقطع پراکندگی در انرژی تشدید و I انتگرال تشدید است که از رابطه نیمه‌تجربی $I = A + C/(r_H)$ بدست می‌آید. ρ چگالی و r_F شعاع معادل سوخت و A مقادیر ثابتی هستند که به جنس سوخت بستگی دارند. با استفاده از روابط فوق خواهیم داشت.

$$\epsilon = \frac{\chi_1 p_1}{1 - (1-p_1)\beta_1} + \left[\chi_2 + \frac{\chi_2 v_1 \chi_1 (1-p_1) \sigma_{1F} / \sigma_{1t}}{1 - (1-p_1)\beta_1} \right] \left[\frac{p_2}{1 - (1-p_2)\beta_2} \right] + \left[\frac{\chi_1 (1-p_1) \sigma_{12} / \sigma_{1t}}{1 - (1-p_1)\beta_1} \right] \left[\frac{p_2}{1 - (1-p_2)\beta_2} \right] \quad (۱۳)$$

گروه ۳ است.

با استفاده از رابطه (۱۳) این ضریب برابر خواهد بود با $\epsilon = ۰۱۳۳۴۷$ نیز با توجه به غنای ۱٪ سوخت از رابطه زیر محاسبه می‌شود.

که در آن α کسری از نوترونهای شکافت است که در بالای آستانه شکافت و β کسری از نوترونهای شکافت است که در زیر آستانه شکافت تولید می‌شوند. v تعداد نوترونهای شکافت حاصل از نوترونهای گروه ۱، P_1 احتمال فرار بدون برخورد نوترون از گروه ۱، P_2 احتمال فرار بدون برخورد نوترون از گروه ۲، و P_3 احتمال فرار بدون برخورد نوترون از

$$\eta_T = v^{25} \frac{\sigma_F^{25}(E_0) g_F^{25}(T)}{\sigma_a^{25}(E_0) g_a^{25}(T) + 100 \sigma_a^{28}(E_0) g_a^{28}(T) + 200 \sigma_a^{30}(E_0)} \quad (۱۴)$$

این مطلب را مشاهده کرد. از چهار ضریب مذکور η_T مقداری ثابت است و سه ضریب دیگر به r_F ، شعاع بمحیط معادل، v ، شعاع غلاف معادل، و β ، شعاع اصلاح شده سلول واحد بستگی دارند. چون این پارامترها به تخلخل یا ارتفاع مؤثر قلب وابسته هستند آنها نیز به تخلخل یا ارتفاع بستگی خواهند داشت. رابطه تخلخل و ارتفاع مؤثر به صورت زیر است [۷]

$$H = -\frac{1}{1800} + \left(\frac{5 \times 10^9 + 4 \times 10^8}{1800} \right)^{\frac{1}{3}} \quad (۱۷)$$

در شکل (۳) نمودار تغییرات K_∞ بر حسب تخلخل، v ، و در شکل (۴) نمودار تغییرات ضریب تکثیر بی‌نهایت، بر حسب ارتفاع مؤثر، H ، رسم شده است.

محاسبات شار نوترون
برای محاسبات مربوط به شار نوترون در قلب، به علت وجود

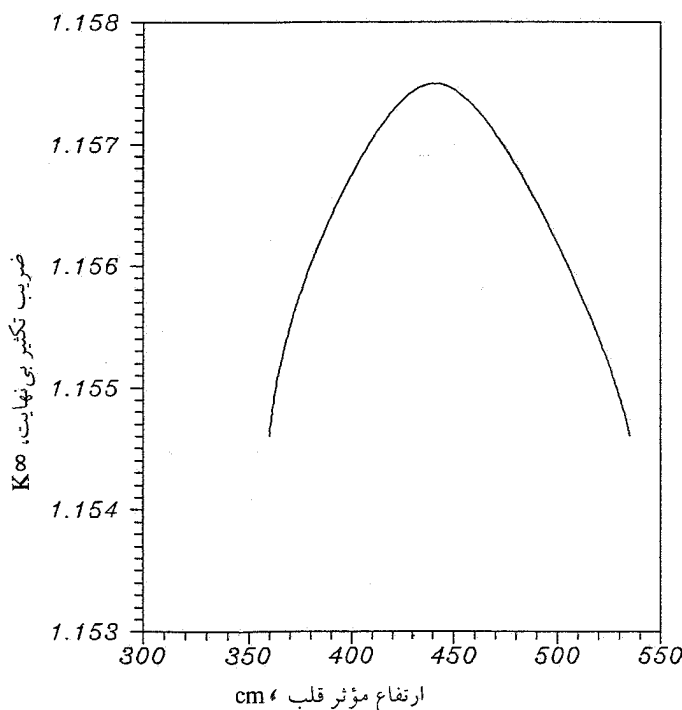
که در آن σ_F و σ_a به ترتیب سطح مقطع شکافت و جذب، v تعداد متوسط نوترونهای حاصل از شکافت، g_F و g_a ضرایب غیر $\frac{1}{r_F}$ برای جذب و شکافت در دمای مربوط به انرژی $E = ۲۵۳$ ر.م.کترون ولت است. مقادیر جایگزین شده برای پارامترهای (T) g_F^{25} و g_a^{25} و (T) g_F^{28} و g_a^{28} به ترتیب ۹۷۶ و ۹۷۸ و ۱۷۰ ر.م.کترون است و در نتیجه خواهیم داشت.

$$\eta_T = ۱۴۶۸۶ \quad (۱۵)$$

بنابراین ضریب تکثیر بی‌نهایت سیستم عبارت است از

$$K_\infty = f \rho \epsilon \eta_T = ۱۱۵۷۵۲۱ \quad (۱۶)$$

قبل از نشان داده شد که برای طراحی مورد نظر، ضریب تکثیر بی‌نهایت سیستم، در تخلخل ۹۱ ر.م.کترون یا ارتفاع مؤثر ۴۳۸ ر.م.کترون می‌آید. با محاسبه و رسم نمودار حاصل ضرب چهار ضریب فوق بر حسب تخلخل یا ارتفاع مؤثر قلب می‌توان



شکل ۴. ضریب تکثیر بی نهایت سیستم بر حسب مقادیر مختلف ارتفاع مؤثر قلب، ضریب تکثیر محاسبه شده برای سلول واحد است که چون قطع کانالها ثابت است فقط نقش تخلخل در ارتفاع مؤثر قلب منظور شده است.

$$\text{داریم} \quad \tau_{\parallel} = 941.8 \text{ cm}^2 \quad \tau_{\perp} = 798.2 \text{ cm}^2$$

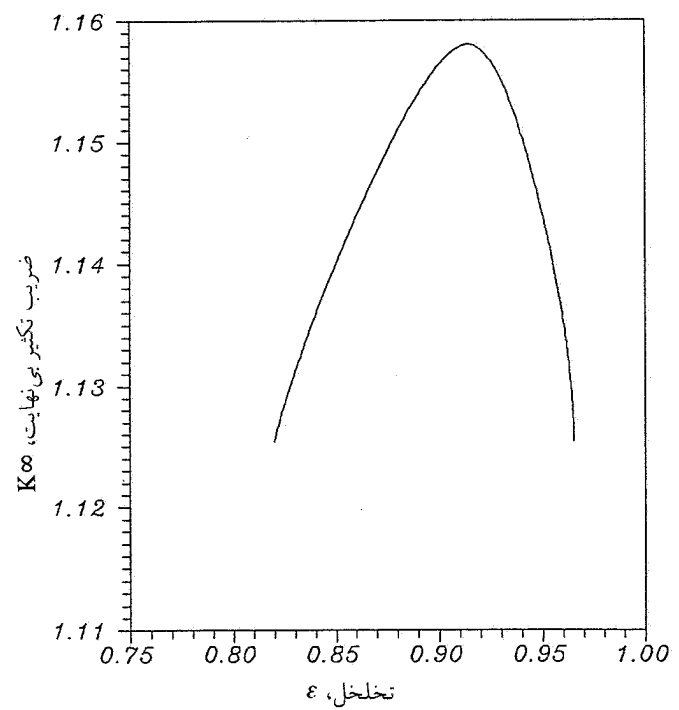
با کلینگ سیستم را در امتداد موازی و عمود بر محور کanal، با داشتن این مقادیر و مساوی قراردادن ضریب تکثیر مؤثر سیستم با مقدار یک، می‌توان به دست آورد.

$$K_{eff} = K_{\infty} \frac{e^{-B \tau}}{1 + L B} = 1, \quad \Rightarrow$$

$$B_{\parallel} = 97152 \times 10^{-5} \text{ cm}^{-2}, \quad B_{\perp} = 11333 \times 10^{-4} \text{ cm}^{-2}$$

اگر رآکتور مورد نظر لخت بود، برای استوانه‌ای لخت به ارتفاع H و با کلینگ شعاعی (B_{\perp}) ، شعاع بحرانی را می‌توانستیم از رابطه $\gamma = \frac{R}{H}$ به دست آوریم که در آن $\gamma = \frac{\pi}{H}$ است. اما رآکتور مورد بحث دارای حفره‌هایی به موازات محور کانال‌هاست که سبب افزایش جریان نوترون در این جهت می‌شود. این اثر معادل این است که ارتفاع قلب رآکتور از H به یک مقدار مؤثر H_{eff} تغییر کند. در نتیجه

$$\gamma_{eff} = \left(\frac{\pi}{H_{eff}} \right)^2 = \left(\frac{\pi}{H_{\circ}} \right)^2 B_{\perp}^2 / B_{\parallel}^2 = \gamma^2 B_{\perp}^2 / B_{\parallel}^2$$



شکل ۳. ضریب تکثیر بی نهایت سیستم بر حسب تخلخلهای مختلف.

گاز هلیوم، با پدیده استریمینگ نوترون مواجه خواهیم شد و این پدیده سبب می‌شود تا بعضی از ثابت‌های قلب مثل سطح پخش گرمایی و سن نوترونها، در جهت موازی و عمود بر محور کانال، دارای مقادیری متفاوت باشند. محاسبات نشان می‌دهد که سطح پخش گرمایی در جهت موازی و عمود بر محور کانال را می‌توان از روابط زیر به دست آورد [۱۱-۱۳]

$$L_{\parallel}^2 = L_{th}^2 \left[1 + 2V_h + V_h^2 \left(\frac{2\omega}{e^{2\omega} - 1} \right) + \frac{3}{2} GWV_h^2 \right]$$

$$L_{\perp}^2 = L_{th}^2 \left[1 + 2V_h + V_h^2 \left(\frac{2\omega}{e^{2\omega} - 1} \right) + \frac{3}{4} GWV_h^2 \right]$$

که در آنها V_h نسبت حجم گاز به حجم مواد جامد مدول، G ضریب شکل و ω از رابطه $r_h/\lambda_m V_h = r_h \lambda_m V_h$ به دست می‌آید که در آن r_h شعاع هیدرولیکی کانال و λ_m پویش آزاد متوسط انتقال در آرام‌کننده است. با استفاده از دو رابطه بالا سطح پخش گرمایی در دو جهت به دست می‌آید:

$$L_{\parallel}^2 = 579.6 \text{ cm}^2, \quad L_{\perp}^2 = 50.68 \text{ cm}^2$$

تصحیحات مربوط به سن نوترون، τ ، نیز مانند L است با ضریب اضافی $(1 + V_F/V_m)$ در سمت راست معادله، در نتیجه

پس از محاسبه ثابت‌ها و ضرایب لازم، شار نوترونهای سریع و گرمایی در قلب را می‌توان به صورت زیر به دست آورد

$$\phi_1(r,z) = [26827 \times 10^{14} J_{\text{ur}} - 47968 \times 10^8 I_{\text{ur}}] \cos(\gamma z)$$

$$\phi_2(r,z) = [1172 \times 10^{14} J_{\text{ur}} + 51172 \times 10^8 I_{\text{ur}}] \cos(\gamma z)$$

که در آنها $\bar{\mu} = \pi/H = 5768 \text{ cm}^{-1}$ ، $\bar{\nu} = 7317 \text{ cm}^{-1}$ و $\gamma = 0.5$ است.

محاسبات نشان می‌دهد که برای بحرانی شدن رآکتور با شعاع معادل قلب برابر با 226 سانتیمتر ، ضخامت بازتابنده باید برابر با 53 سانتیمتر باشد که در این صورت شعاع رآکتور 280 سانتیمتر خواهد بود. شار نوترونهای سریع و گرمایی در بازتابنده را نیز می‌توان به دست آورد.

$$B_{\perp}^2 = \left(\frac{2r_{\text{eff}}}{R} \right)^2 + \gamma_{\text{eff}}^2$$

می‌شود که اگر ارتفاع مؤثر $R = 438 \text{ cm}$ باشد محاسبه و جایگزین شود شعاع رآکتور لخت به دست می‌آید:

$$R_{\text{eff}} = 328.7 \text{ cm}$$

برای محاسبه شار نوترون از نظریه پخش دو گروهی استفاده کردیم. درنتیجه شار نوترونهای سریع و گرمایی را در قلب با ϕ_1 و ϕ_2 و در بازتابنده با ϕ_{1r} و ϕ_{2r} نشان می‌دهیم، معادلات پخش حالت پایا برای هر گروه عبارت اند از

$$D_1 \nabla^2 \phi_1 - \sum_{s \in S} \phi_s - \sum_{a \in A} \phi_a + \nu \sum_{F \in F} \phi_F = 0$$

$$D_2 \nabla^2 \phi_2 - \sum_{s \in S} \phi_s + P \sum_{s \in S} \phi_s = 0$$

$$D_{1r} \nabla^2 \phi_{1r} - \sum_{ar} \phi_{ar} - \sum_{ar} \phi_{1r} = 0$$

$$D_{2r} \nabla^2 \phi_{2r} - \sum_{ar} \phi_{ar} + \sum_{ar} \phi_{2r} = 0$$

$$\phi_{1r}(r,z) = [37927 \times 10^{19} K_{\text{ur}} - 17838 \times 10^7 I_{\text{ur}}] \cos(\gamma z)$$

$$\phi_{2r}(r,z) = [-63376 \times 10^{19} K_{\text{ur}} + 29807 \times 10^7 I_{\text{ur}} + 55600 \times 10^{19} K_{\text{ur}} - 14521 \times 10^{19}]$$

$$I_{\text{ur}}(\bar{k}_{\text{ur}} r) \cos(\gamma z) \quad (19)$$

شار متوسط نوترونهای سریع و گرمایی در قلب عبارت اند از

$$\bar{\phi}_1 = 10^{14} \text{ نوترون/cm}^2 \text{s}$$

$$\bar{\phi}_2 = 10^{13} \text{ نوترون/cm}^2 \text{s}$$

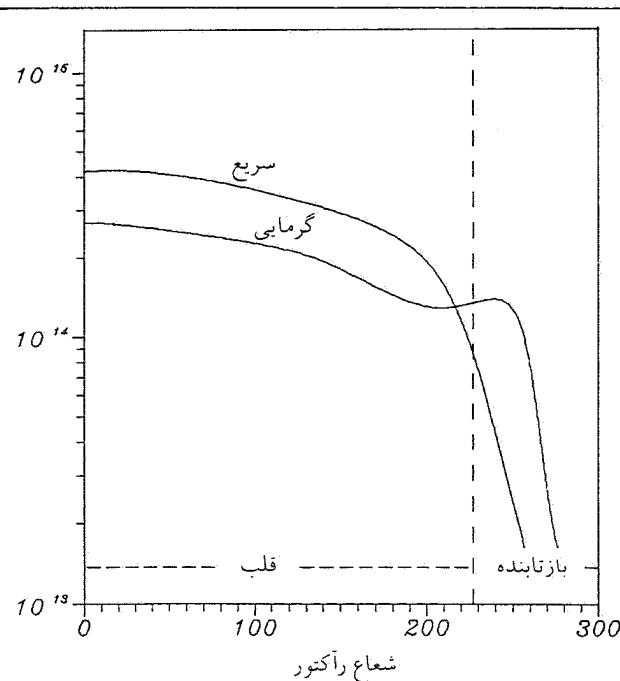
شار سریع و گرمایی در قلب و بازتابنده در صفحه $Z = 0$ در شکل (۵) بر حسب شعاع قلب رسم شده است.

نتایج

نتایج حاصل از این تحقیقات را به صورت زیر خلاصه می‌کنیم. در پایان توصیه‌های لازم برای ادامه تحقیقات ارائه شده است.

(الف) مزیتهای رآکتور پیشنهادی

از مزیتهای این سیستم پیشنهادی، پایداربودن بستر آن است. در این ایده، طراحی مکانیکی کانال‌ها به صورتی است که سرعت جریان خنک‌کننده در مسیر کانال‌ها تغییر می‌کند. این



شکل ۵. توزیع شار نوترونهای سریع و گرمایی در قلب و بازتابنده.

نداشته باشد. متحنی ضریب تکثیر بی نهایت بر حسب تخلخل در شکل ۳ و بر حسب ارتفاع مؤثر قلب در شکل ۴ ارائه شده است.

ج) توزیع شار و شار متوسط

از دیگر نتایج به دست آمده در این تحقیقات تعیین ضخامت بازتابنده برای بحرانی شدن سیستم است. این ضخامت در حدود 2 cm سانتیمتر به دست آمد که در این صورت شاعع راکتور به 280 cm سانتیمتر می‌رسد. توزیع شار نوترونهای سریع و گرمایی در قلب و بازتابنده محاسبه شده و با روابط (۱۸) و (۱۹) داده شده‌اند. شار متوسط نوترونهای گرمایی در قلب برابر با $10^{13} \times 84\text{ cm}^2$ به دست آمده است. این کمیت متوسط شار گرمایی در سوخت از رابطه $O = P/V \sum_{i=1}^n E_i$ نیز قابل محاسبه است که در آن V حجم سوخت و $\sum_i E_i$ سطح مقطع ماکروسکوپی شکافت سوخت است. با توجه به اینکه نسبت شار متوسط گرمایی در راکتور به شار متوسط گرمایی در سوخت برابر 10^{64} cm^2 است [۷] شار متوسط گرمایی در راکتور از این روش برابر با $10^{13} \times 95\text{ cm}^2$ به دست می‌آید و ملاحظه می‌شود که با توجه به همه تقریبهایی که در محاسبات قبلی به کار برده‌ایم این دو مقدار بسیار نزدیک هستند و در حدود 1 cm درصد با یکدیگر اختلاف دارند. نمودار توزیع شار نوترونهای سریع و گرمایی در قلب و بازتابنده در شکل ۵ رسم شده است.

توصیه‌های لازم برای ادامه تحقیقات

- در این کار تحقیقاتی براساس مراجع ارائه شده، بیشترین نیروی خالص وارد بر گلوله‌ها که برای پایداری بستر لازم است حدود 13 cm درصد نیروی وزن آنها در نظر گرفته شده و طراحی مکانیکی کانال‌ها بر همین اساس صورت گرفته است. این فرض عملاً باید مجدداً بررسی شود و در صورت نیاز طراحی مکانیکی کانال‌ها عوض شود. ضمناً لزومی ندارد که حتماً میزان افزایش شاعع کانال‌ها یکنواخت باشد.

- توزیع گلوله‌ها در طول کانال یکنواخت فرض شده است؛ لازم است این فرض بررسی و در صورت لزوم اثرهای غیریکنواختی توزیع گلوله‌ها در طول کانال در محاسبات وارد شود، هرچند که به نظر می‌رسد این غیریکنواختی، در صورت وجود، کوچک باشد.

- با توجه به نوع آرام‌کننده انتخاب شده می‌توان با تغییر در اندازه و ترکیب راکتور، از دی‌اکسید اورانیوم طبیعی نیز استفاده کرد که در این صورت نیازی به غنی‌سازی اورانیوم وجود ندارد، ولی استفاده از دی‌اکسید اورانیوم طبیعی حجم راکتور پیشنهادی را بزرگتر خواهد ساخت.

تغییر به گونه‌ای است که سیستم خود به خود دارای بستری پایدار می‌شود. در یک سیستم پیشنهادی، برای پایداری بستر از میدانهای مغناطیسی بسیار قوی به شدت 5 T سلا و قراردادن مادهٔ فرومغناطیس در داخل گلوله‌های سوخت استفاده شده است [۱۴]. این روش، علاوه بر پیچیدگی‌های تکنولوژیکی، ساخت میدانهای مغناطیسی قوی، دارای مشکلات دیگری مانند طراحی سوخت و اثرات مخرب تابش هسته‌ای موجود در قلب راکتور بر مادهٔ فرومغناطیس است، در حالی که در سیستم پیشنهادی هیچ کدام از این مشکلات وجود ندارد. در این ایده از گلوله‌های سوخت با قطر بسیار کوچک (12 mm سانتیمتر) و از جنس دی‌اکسید اورانیوم، که چگالی آن حدود نصف چگالی اورانیوم است، استفاده شده است که ضمن امکان طراحی، به پایداری بستر نیز کمک می‌کند [۱۵]. به علاوه، کوچک بودن گلوله‌های سوخت سبب افزایش نسبت سطح به حجم آنها می‌شود که این امر انتقال گرما از گلوله‌ها به خنک‌کننده را آسانتر می‌سازد.

از دیگر مزایای این سیستم، استفاده از اورانیوم یک درصد غنی شده است که با توجه به اینکه در مقایسه با دیگر راکتورها از درصد غنای کمی استفاده می‌کند، چگالی توان در این راکتور پیشنهادی 13.5 W/cm^3 است که در حدود 5 W/cm^3 برابر بیشتر از راکتورهای بستر شارشی مشابه است [۱۶]. بهترین مقدار نسبت شاعع به ارتفاع در راکتورهای استوانه‌ای 55 cm است. این نسبت در راکتور پیشنهادی ماقادیری مانند 92 cm [۱۶] یا 11 cm [۱۴] را دارد، مقدار بسیار خوبی است.

- ارتباط تخلخل با ضریب تکثیر بی نهایت
نتایج حاصل از محاسبات گویای رابطه تنگانگ بین تخلخل و ضریب تکثیر بی نهایت سیستم است. این محاسبات نشان می‌دهند که در ابتدا با افزایش تخلخل، ضریب تکثیر بی نهایت افزایش می‌یابد و این روند تا رسیدن تخلخل به 91 cm ادامه پیدا می‌کند و از آن به بعد با افزایش تخلخل، ضریب تکثیر بی نهایت کاهش می‌یابد (شکل ۳). چون سیستم به گونه‌ای طراحی شده است که در حالت عادی در تخلخل 91 cm قرار دارد، هر گونه تغییری در تخلخل بستر، که ناشی از تغییر ناخواسته در سرعت گاز هلیوم باشد، سبب کاهش ضریب تکثیر بی نهایت می‌شود که می‌تواند سیستم را به حالت زیر بحرانی منتقل و از وقوع وقایع ناگوار جلوگیری کند. از این امر برای کنترل راکتور نیز می‌توان استفاده کرد و به نظر می‌رسد که در این سیستم جدید احتیاج چندانی به میله‌های کنترل وجود

1. IAEA Bulletin, vol. 35, No. 4 (1993) 60-9.
2. M.R. Eskandari, "The Conceptual Design of Intrinsic safe Reactor", Bereckly and McMaster Cooperative Work, July (1993).
3. M.R. Eskandari, M. Shayesteh. M. Soltani, "The New conceptual Design of Nuclear Reactor Safe Against Loss of Coolant Accident", Inter. Nathiaghali Summer Coll. on Physics and Contemporary Needs (1994).
4. M.R. Eskandari. A.A. Harms. "Intrinsic Reactor Safety with Temperature Sensitive Isotope Triggers, Nucl. Sci. J. Vol. 29, No. 2 (1992)81-87.
5. A.A. Harms, M.R. Eskandari. Z. Bilanovic, "Intrinsic Fission Excursion Inhibition with Tandem-Isotope Temp. triggers", Fusion Tech. Vol. 20 (1991).
6. F. Refiduash, "A Fluidized Bed Nuclear Reactor Concept", Nucl. Technology, Vol. 21 (1985).
7. M. Shayesteh, "Intrinsically Safe Nuclear Reactor" M.Sc. Thesis, Shiraz University, Phy. Dept. (1994).
8. J. L. Meem, "Two Group Reactor Theory", science publishers, (1963).
9. J. Lamarsh, Intro. to Nuclear Eng., Addison -Wesley (1983).
10. J. Lamarsh, Nucl. Reactor Theory, Addison-Wesley (1972).
11. D. J. Behrens, "The Effect of Holes on the passage of Neutrons", proc. Phys. Soc. (1949).
12. R. V. meghrebian and D. K. Holmes, "Reactor Analysis", McGraw Hill (1960).
13. A.M. Weinberg and E.P. Wigner, "The Physical Theory of Neutron Chain Reactors", University of Chicago press, (1958).
14. Y. Watanabe and J. Applebaum, "Magnetically stabilized Fluidized Bed Nuclear Fission Reactor", Fusion Technology, Vol. 20, Dec. (1991).
15. R.H. Perry, Chemical Engineers Handbook, McGraw Hill (1973).
16. M. Taube and M. Lanfranchi and Th. Von. Weissnflu, "The Inherently Safe Power Reactor Dyonisos", Am. Nucl. Energy, Vol. 13. No. 12 (1986).